

Simulação *Particle in Cell*

Alexandre Barbosa¹, Miguel Roldão²

Física Computacional

Mestrado Integrado em Engenharia Física Tecnológica

¹ alexandre.barbosa@tecnico.ulisboa.pt, 93362

² miguel.roldao@tecnico.ulisboa.pt, 93405

Introdução Teórica

A equação do movimento de um eletrão é:

$$\frac{d^2 r_i}{dt^2} = -\frac{qE(r_i)}{m_e} \quad (1)$$

A partir da Lei de Gauss, obtemos:

$$\begin{cases} \nabla \cdot E = \frac{\rho}{\varepsilon_o} = \frac{e}{\varepsilon_o} (n_{ions} - n_{eletrons}) \\ E(x) = -\frac{d\phi(x)}{dt} \end{cases} \quad (2)$$

E	campo elétrico
ρ	densidade de carga total
ε_o	permissividade elétrica do vácuo
n	densidade de partículas
ϕ	potencial elétrico

Normalização

$$t \longrightarrow t \omega_p^{-1} = t \sqrt{\frac{\varepsilon_0 m_e}{n_0 e^2}} \quad \text{e} \quad x \longrightarrow x \lambda_D \quad (3)$$

$$n_0 = \frac{N}{L} \quad \text{onde} \quad L = x_{max} - x_{min} \quad (4)$$

Discretização do Problema

Se a posição r_i do elétron se encontrar no intervalo $[x_j, x_{j+1}]$, então a densidade nas células j e $j + 1$ aumenta por:

$$\begin{cases} n_j \rightarrow n_j + \frac{x_{j+1} - r_i}{h^2} \\ n_{j+1} \rightarrow n_{j+1} + \frac{r_i - x_j}{h^2} \end{cases} \quad (5)$$

Implementação da Classe PIC

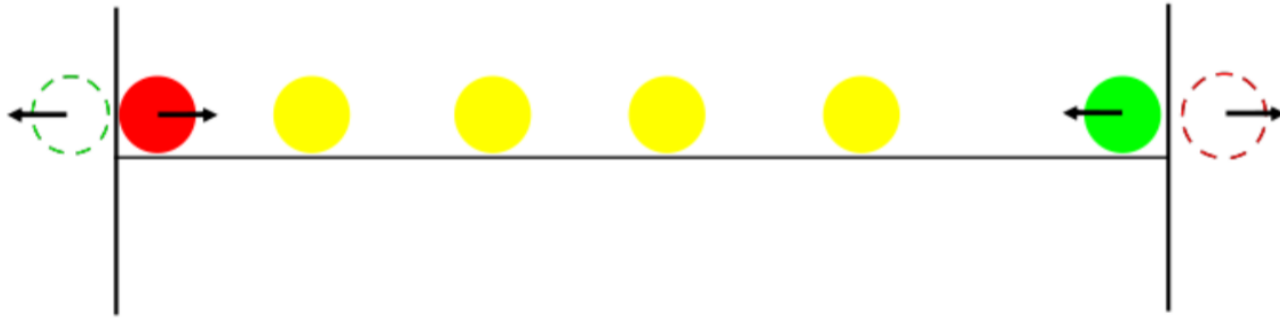
```
class PIC {
public:
    PIC(std::vector<double> velocity, int Npart = 1000, double xmin = 0.0, double xmax = 1.0, int ngrid = 100);
    ~PIC(); // destructor
    // distribuição inicial de velocidades
    void FdistV(vector<double> veloc, bool save_plot = true, bool show_plot = false);
    // espaço de fases
    void Plot_Phase_Space(bool save_plot = true, bool show_plot = false);
    // cálculo do perfil de densidade na grelha espacial
    void Density(bool save_plot = true, bool show_plot = false);
    // cálculo do potencial na grelha espacial
    void Poisson(bool save_plot = true, bool show_plot = false);
    // avanço no tempo de todas as partículas
    void TimeStep(double dt);
    // discretiza o domínio espacial
    void SetGrid();
    // impõe as condições fronteira
    void CheckBoundaries();
    // retorna o tempo atual de simulação (unidades normalizadas)
    double GetTime() {return t;}
    PIC & operator= (const PIC &rhs); // assignement operator
```

Data Members da Classe

```
private:
    std::vector<double> velocity; // vector com a velocidade dos 2 beams (positivo e negativo)
    int Npart; // = 1000: número total de partículas
    double xmin; // = 0.0 início do domínio espacial que contém as partículas
    double xmax; // = 1.0: fim do domínio espacial que contém as partículas
    int ngrid; // = 100: numero de pontos da grelha espacial onde calcular a densidade e potencial.
    double n0; // densidade média
    double * r; // array com a posição dos Npart eletrões
    double * v; // array com a velocidade dos Npart eletrões
    double* xgrid; // coordenadas da grelha (de xmin a xmax)
    double* density; // densidade de partículas na grelha espacial
    double* potential; // potencial elétrico a grelha espacial
    double* Efield; // campo elétrico para as N partículas
    void Eletric_Effect(double dt); // calcula o campo elétrico, as novas velocidades e posições
    std::vector<TFormula> TF; // vetor de TFormulas usadas nas equações diferenciais
    std::vector<ODEpoint> sol; // vetor-solução da ODE que permite calcular a posicao e velocidade
    double t; // tempo atual de simulação
    static bool HasDrawnAnyPlots; // para decidir se cria uma TApplication
```

Condições Fronteira

- Se $x_i > x_{max}$, então $x_i = x_i - L$.
- Se $x_i < x_{min}$, então $x_i = x_i + L$

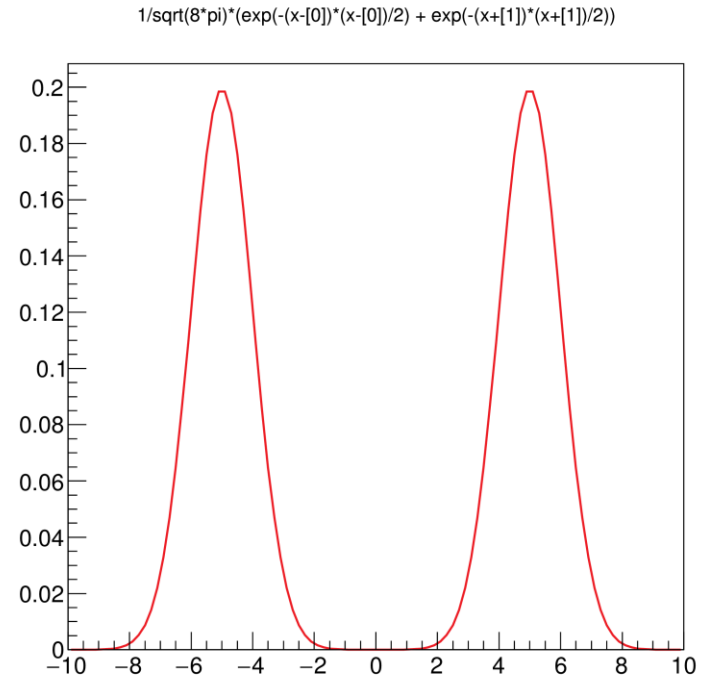
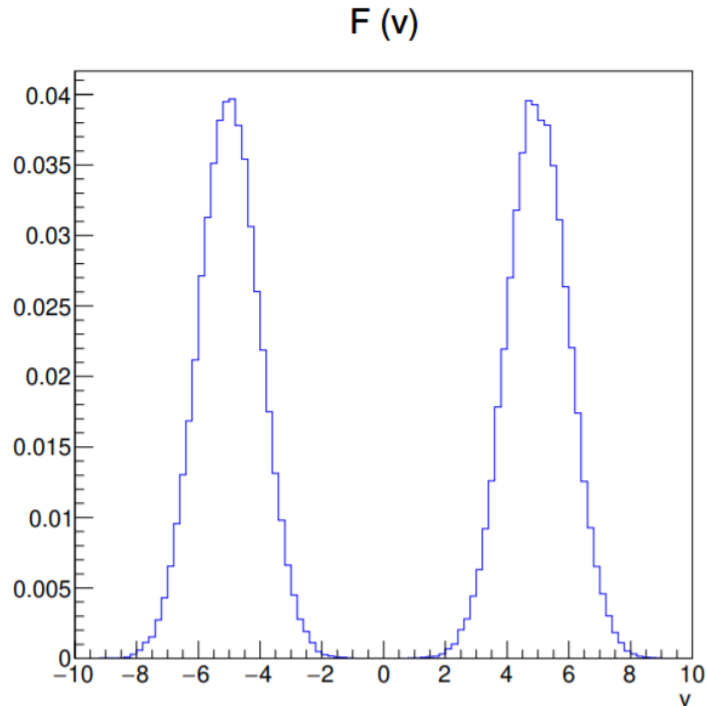


$$\phi(x_{min}) = \phi(x_{max}) = 0$$

Método de Aceitação-Rejeição

```
bool VelocityParameter;  
  
// Método de Aceitação-Rejeição  
for (int j = 0; j < Npart; j++)  
{  
    if (rgen.Uniform(0,1) > 0.5)  
        VelocityParameter = true;  
  
    else  
        VelocityParameter = false;  
  
    // Método de Box-Muller  
    v[j] = sqrt(-2*log(rgen.Uniform(0,1)))*cos(2*PI*rgen.Uniform(0,1)) + veloc[VelocityParameter];  
    histogram->Fill(v[j]);  
}
```


Distribuição de Velocidades



Métodos Numéricos: Diferenças Finitas

A segunda derivada do campo elétrico ϕ pode ser escrita como:

$$\frac{d^2\phi}{dt^2} = \frac{\phi(x_i + h) - 2\phi(x_i) + \phi(x_i - h)}{h^2} \quad (6)$$

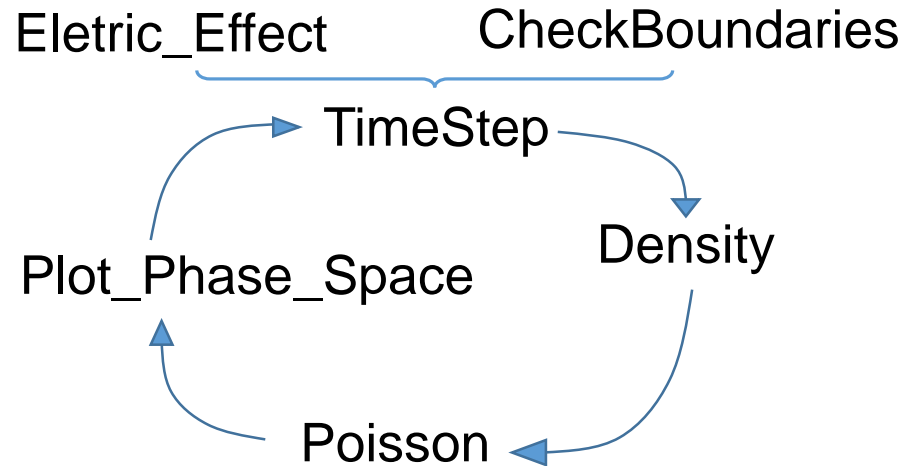
O cálculo do potencial resume-se a resolver a equação:

$$\frac{1}{h^2} \begin{bmatrix} -2 & 1 & 0 & \dots & 0 \\ 1 & -2 & 1 & & \vdots \\ 0 & 1 & -2 & \ddots & \\ \vdots & & \ddots & \ddots & 1 \\ 0 & \dots & & 1 & -2 \end{bmatrix} \vec{\phi} = \begin{bmatrix} 0 \\ n_1 - 1 \\ \vdots \\ n_{ngrid-2} - 1 \\ 0 \end{bmatrix} \quad (7)$$

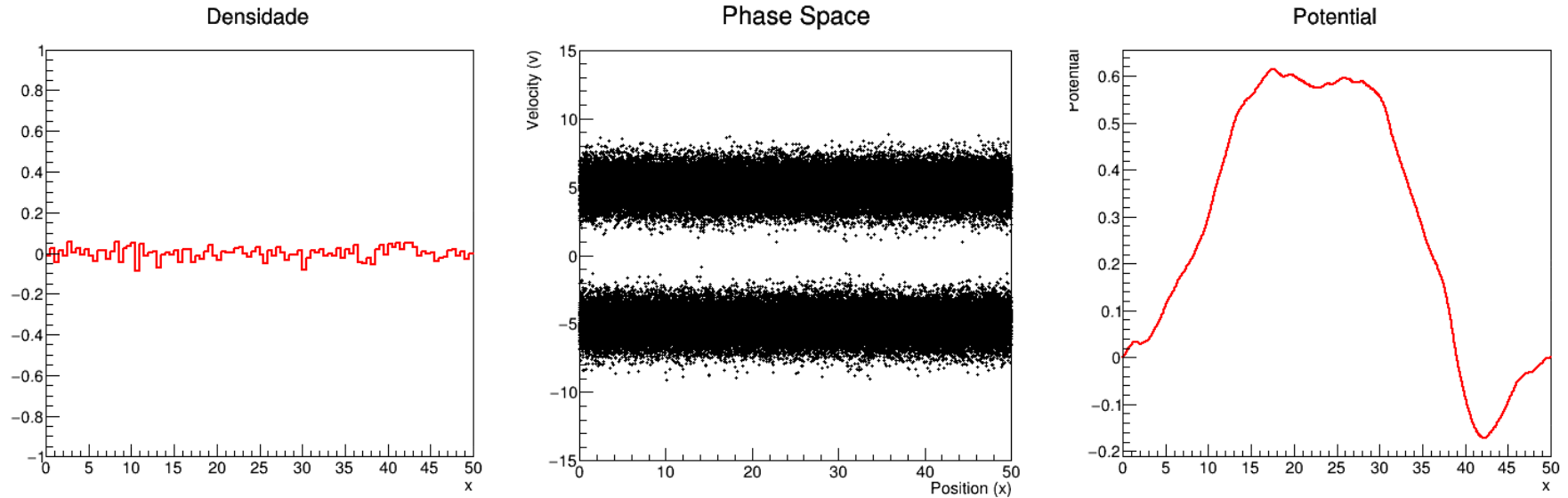
Métodos Numéricos: Runge-Kutta 4

$$\begin{cases} \frac{dr_i}{dt} = v_i \\ \frac{dv_i}{dt} = -E(r_i) \end{cases} \quad (8)$$

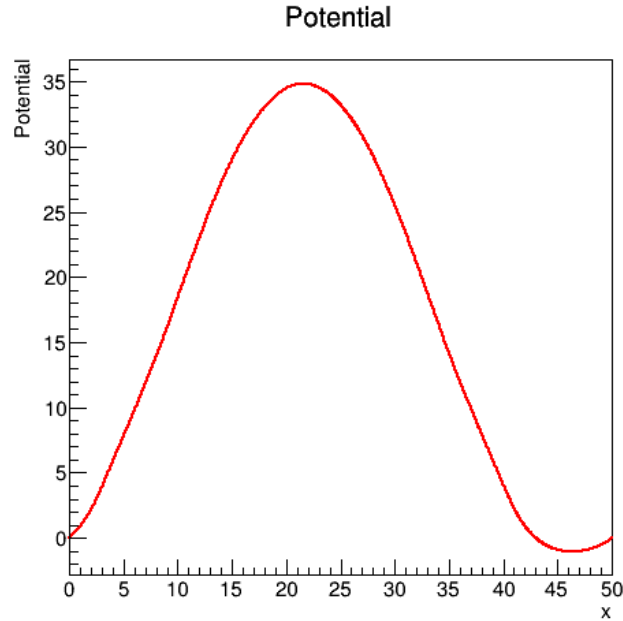
Avanço Temporal



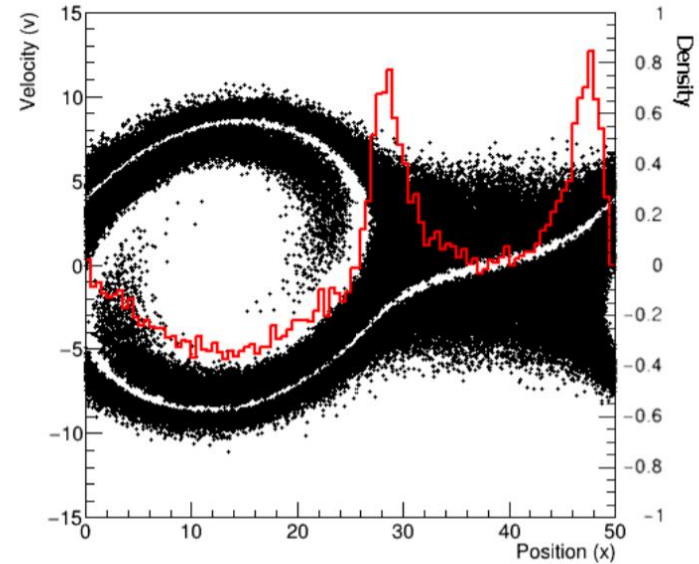
Simulação da Dinâmica de $N = 10^5$ Partículas



Caso I: $L = 50.0 \lambda_D$

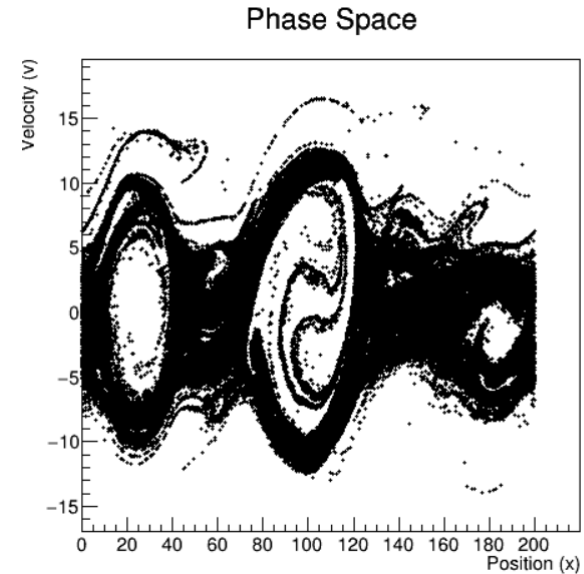
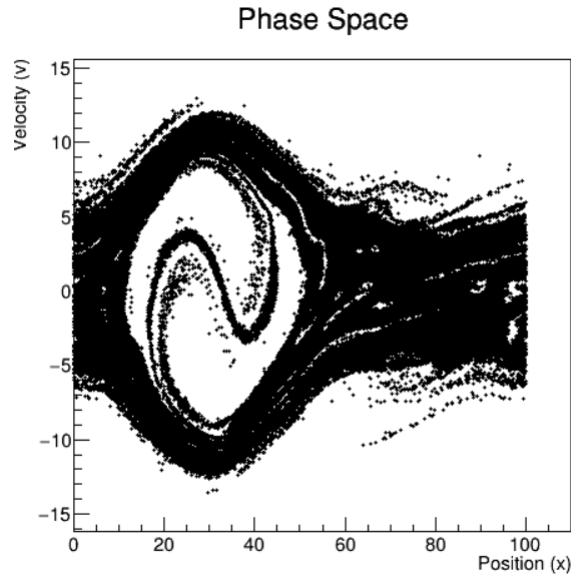


Potencial em $t = 20.0 \omega_p^{-1}$



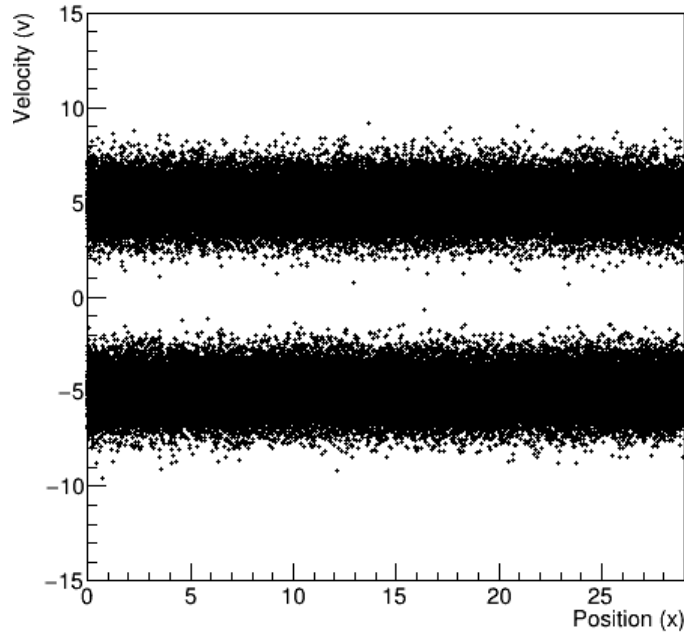
Densidade e Espaço de Fases em $t = 20 \omega_p^{-1}$

Caso II: Estabilidade ($L > 50.0 \lambda_D$)

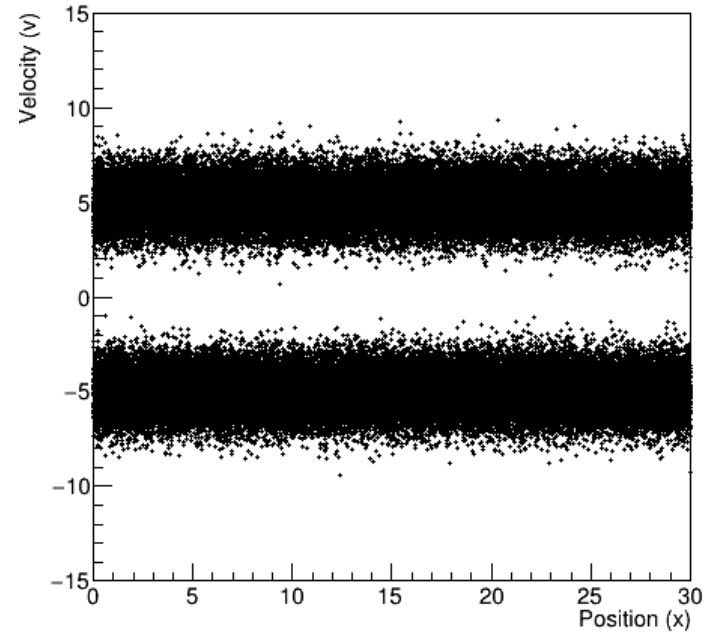


Caso II: Estabilidade ($L < 50.0 \lambda_D$)

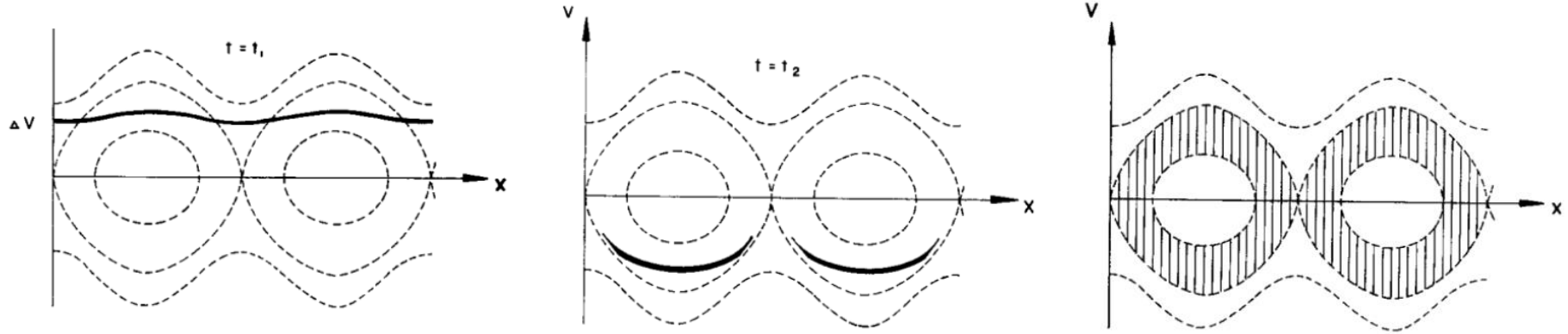
Phase Space



Phase Space



Instabilidade



W. E. Drummond, J. H. Malmberg, M. O'Neil e J. R. Thompson, "Nonlinear Development of the Beam-Plasma Instability". *Em: The Physics of Fluids*, **2242**. 13 (1970).

Limitações

60

\neq

∞

Limitações

100000000000000000000

simulação

realidade